

$$\begin{aligned}
& + \int_{S_{23}} \rho_{23} \vec{v}_{23} dS + \int_{L_{123}} \rho_{123} \vec{v}_{123} dL) = \int_{V_1} \rho_1 \vec{F}_1 dV + \int_{V_2} \rho_2 \vec{F}_2 dV + \int_{V_3} \rho_3 \vec{F}_3 dV + \\
& + \int_{S_{12}} \rho_{12} \vec{F}_{12} dS + \int_{S_{13}} \rho_{13} \vec{F}_{13} dS + \int_{S_{23}} \rho_{23} \vec{F}_{23} dS + \int_{L_{123}} \rho_{123} \vec{F}_{123} dL + \\
& + \int_{A_1} \vec{n}_1 \cdot \hat{\pi}_1 dA + \int_{A_2} \vec{n}_2 \cdot \hat{\pi}_2 dA + \int_{A_3} \vec{n}_3 \cdot \hat{\pi}_3 dA + \int_{L_{12}} \vec{N}_{12} \cdot \hat{\sigma}_{12} dL + \\
& + \int_{L_{13}} \vec{N}_{13} \cdot \hat{\sigma}_{13} dL + \int_{L_{23}} \vec{N}_{23} \cdot \hat{\sigma}_{23} dL + \sigma_{123}^A \vec{s}^A + \sigma_{123}^B \vec{s}^B. \quad (5)
\end{aligned}$$

Кроме введенных выше, здесь использованы обозначения:  $\vec{N}_{ij}$  — внешняя нормаль к линии контакта, лежащая в соответствующей касательной плоскости;  $\vec{s}$  — вектор, касательный к периметру смачивания; индексами  $A$  и  $B$  отмечены значения линейного натяжения  $\sigma_{123}$  [2] в соответствующих точках (см. рис. 2).

Стягивание материального объема к точке на линии  $L_{123}$  приводит к уравнению

$$\begin{aligned}
\frac{d}{dt} (\rho_{123} \vec{v}_{123}) + \rho_{123} \vec{v}_{123} \vec{s} \cdot \frac{d\vec{v}_{123}}{ds} &= \frac{d\sigma_{123} \vec{s}}{ds} + \rho_{123} \vec{F}_{123} - \vec{N}_{12} \cdot \hat{\sigma}_{12} - \\
&- \vec{N}_{13} \cdot \hat{\sigma}_{13} - \vec{N}_{23} \cdot \hat{\sigma}_{23} + \rho_{12} \vec{v}_{12} (\vec{v}_{12} - \vec{v}_{123}) \cdot \vec{N}_{12} + \\
&+ \rho_{13} \vec{v}_{13} (\vec{v}_{13} - \vec{v}_{123}) \cdot \vec{N}_{13} + \rho_{23} \vec{v}_{23} (\vec{v}_{23} - \vec{v}_{123}) \cdot \vec{N}_{23}. \quad (6)
\end{aligned}$$

При  $\rho_{12} = \rho_{13} = \rho_{23} = \rho_{123} = 0$ ,  $\sigma_{123} = 0$ ,  $(\vec{v}_1 - \vec{v}_{12}) \cdot \vec{n}_1 = 0$ ,  $(\vec{v}_2 - \vec{v}_{12}) \times \vec{n}_2 = 0$ ,  $\hat{\sigma}_{12} = \sigma_{12} \hat{l}$ ,  $\hat{\sigma}_{13} = \sigma_{13} \hat{l}$ ,  $\hat{\sigma}_{23} = \sigma_{23} \hat{l}$  из уравнений (4), (6) следуют уравнения (1), (2).

Таким образом, можно сделать вывод, что обобщенные формулы Лапласа и Юнга являются двухмерным и одномерным вариантами одного уравнения, в чем легко убедиться, сравнив выражения (4), (6).

1. Подстригач Я. С., Шевчук П. Р. Влияние тонких покрытий и промежуточных слоев на диффузионные процессы и на напряженное состояние в твердых телах. — Пробл. прочности, 1970, № 11, с. 37—40.
2. Щербаков Л. М., Рязанцев П. П. О влиянии энергии периметра смачивания на краевые условия. — В кн.: Исследования в области поверхностных сил. — М.: Наука, 1964, с. 26—28.
3. Ghez R. Equilibre mécanique et de forme de petits cristaux. — Helv. phys. acta, 1968, 41, N 3, p. 287—309.
4. Herring C. Surface tension as a motivation for sintering. — In: The Physics of Powder Metallurgy. New York: McGraw-Hill, 1951, p. 143—179.

Институт прикладных проблем  
механики и математики  
АН УССР

Поступила в редколлегию  
14.08.80

УДК 539.374

О. Н. Шаблий, М. С. Михалишин, П. И. Данчак

#### УСТАНОВИВШАЯСЯ ПОЛЗУЧЕСТЬ ТОНКИХ ПОЛОГИХ ОБОЛОЧЕК ВРАЩЕНИЯ С УЧЕТОМ НАПРЯЖЕНИЙ ПОПЕРЕЧНОГО СДВИГА

Вопросам построения физических зависимостей между обобщенными скоростями деформаций и обобщенными напряжениями для тонких пластин и оболочек, находящихся в условиях установившейся ползучести, получению основных разрешающих уравнений установившейся ползучести таких кон-

струкций и их исследованию посвящено много работ [1—8, 10—12]. В этих работах, кроме [11], используется гипотеза Кирхгофа — Лява для распределения скоростей деформаций по толщине оболочки и пренебрегается влиянием на процесс деформирования нормальных напряжений, действующих на площадках, параллельных срединной поверхности оболочки, и сдвиговых касательных напряжений. Кроме того, при формулировке физических соотношений установившейся ползучести тонких оболочек используются различные предположения и допущения, позволяющие получить приближенные уравнения, например, техническая теория ползучести оболочек [1, 7], использование понятия «нейтральной» поверхности оболочек [10], рассмотрение чисто моментного напряженного состояния [2, 6] и др. [3, 5, 11, 12]. Поэтому представляется интересным получить дифференциальные уравнения установившейся ползучести пологих оболочек вращения в точной постановке для одного из законов ползучести, которые учитывали бы влияние напряжений поперечного сдвига на процесс деформирования, и сравнить с этим результатом решение аналогичных задач, построенных на основании получивших наибольшее распространение приближенных уравнений ползучести тонких оболочек [8].

Предположим [4, 7], что существует потенциал скоростей деформаций ползучести  $\Phi(\sigma_{ij})$  такой, что

$$\varepsilon_{ij} = \frac{\partial \Phi}{\partial \sigma_{ij}}, \quad (1)$$

причем функция  $\Phi(\sigma_{ij})$  зависит от некоторой однородной функции напряжений первой степени  $F^*(\sigma_{ij})$  и соотношение (1) запишется так:

$$\varepsilon_{ij} = \frac{\partial \Phi}{\partial F^*} \frac{\partial F^*}{\partial \sigma_{ij}} = f(F^*) \frac{\partial F^*}{\partial \sigma_{ij}}. \quad (2)$$

В работе [7] показано, что вид функции  $f(F^*)$  легко определить из сравнения зависимостей (2) с найденной экспериментальной зависимостью скорости деформации от напряжения для одноосного растяжения, если только функцию  $F^*(\sigma_{ij})$  выбрать так, чтобы при одноосном растяжении ее величина становилась равной растягивающему напряжению. Поэтому отнесем тензор напряжений к главным осям и зададим функцию  $F^*$  для осесимметричного случая в виде

$$F = (F^*)^2 = \sigma_1^2 - \sigma_1 \sigma_2 + \sigma_2^2 + \frac{3}{\alpha^2} \sigma_{13}^2, \quad (3)$$

где  $\alpha$  — коэффициент, учитывающий анизотропию материала на поперечный сдвиг.

Подставляя выражение (3) в соотношения (2) и затем составляя из найденных скоростей деформаций выражение

$$\xi = \frac{2}{\sqrt{3}} \left( \varepsilon_1^2 + \varepsilon_1 \varepsilon_2 + \varepsilon_2^2 + \frac{\alpha^2}{4} \varepsilon_{13}^2 \right)^{\frac{1}{2}}, \quad (4)$$

находим

$$f(F^*) = \xi. \quad (5)$$

Сравнивая полученное равенство со степенным законом ползучести при одноосном растяжении  $\dot{\varepsilon} = B_1 \sigma^n$ , для функции  $f(F^*)$  получаем выражение

$$f(F^*) = B_1 (F^*)^n = \xi, \quad (6)$$

и окончательно зависимости (1), (2) запишутся так:

$$\varepsilon_{ij} = \frac{1}{2} B_1 F^{\frac{n-1}{2}} \frac{\partial F}{\partial \sigma_{ij}}, \quad (7)$$

а потенциал скоростей деформаций ползучести примет вид

$$\Phi = \frac{m B_1^{-m}}{m+1} \xi^{1+m} \quad (m = n^{-1}). \quad (8)$$

В работе [7] показано, что из справедливости соотношений (1) следуют обратные соотношения, т. е. легко показать, что существует потенциал напряжений  $U(\epsilon_{ij})$  такой, что

$$\sigma_{ij} = \frac{\partial U}{\partial \epsilon_{ij}}, \quad (9)$$

причем функция  $U(\epsilon_{ij})$  определяется зависимостью

$$U = \sigma_{ij}\epsilon_{ij} - \Phi = D - \Phi = \frac{B_1^{-m}\xi^{1+m}}{1+m}. \quad (10)$$

Нетрудно показать, что введенные таким образом функции  $\Phi(\sigma_{ij})$  и  $U(\epsilon_{ij})$  в точности совпадают с функциями дополнительного рассеяния  $\Lambda$  и рассеяния  $L$  [4, 7].

Одной из самых основных трудностей при изучении установившейся ползучести оболочек и пластин является формулировка потенциала обобщенных скоростей деформаций ползучести или соответствующих обобщенных напряжений.

Отнесем оболочку к системе координат  $X_1, X_2, Z$ , где  $X_1, X_2$  — криволинейная ортогональная система координат, заданная на срединной поверхности оболочки, ее координатные линии совпадают с линиями кривизны, а ось  $Z$  направлена по нормали к срединной поверхности оболочки в направлении центров кривизны и имеют начало на срединной поверхности. Для рас-пределения скоростей деформаций по толщине оболочки примем гипотезу типа Тимошенко

$$\epsilon_i = \epsilon_{i0} - Z\kappa_i, \quad \epsilon_{130} = \epsilon_{130}, \quad (11)$$

где  $\epsilon_{i0}, \kappa_i$  ( $i = 1, 2$ ) — скорости деформаций и искривлений срединной поверхности оболочки;  $\epsilon_{130}$  — скорость деформации поперечного сдвига.

Из справедливости соотношений (9) следует справедливость аналогичных зависимостей в пространственных обобщенных скоростях деформаций и обобщенных напряжений [7], а именно:

$$T_i = \frac{\partial U^*}{\partial \epsilon_{i0}}, \quad M_i = -\frac{\partial U^*}{\partial \kappa_i}, \quad Q = \frac{\partial U^*}{\partial \epsilon_{130}}. \quad (12)$$

Здесь  $T_i, M_i$  ( $i = 1, 2$ ),  $Q$  — усилия, моменты и перерезывающая сила, а функция  $U^*$  имеет вид

$$U^* = \int_{-h}^h U dZ. \quad (13)$$

Легко показать, что из формул (12) немедленно вытекают обратные соотношения, т. е.

$$\epsilon_{i0} = \frac{\partial \Phi^*}{\partial T_i}, \quad \kappa_i = -\frac{\partial \Phi^*}{\partial M_i}, \quad \epsilon_{130} = \frac{\partial \Phi^*}{\partial Q}, \quad (14)$$

где

$$\Phi^* = \int_{-h}^h \Phi dZ. \quad (15)$$

Подставляя зависимости (11) в выражение (10) и затем произведя интегрирование по формуле (13), находим

$$U^* = \frac{B_1^{-m}}{m+1} \left( \frac{2}{\sqrt{3}} \right)^{m+1} \int_{-h}^h P^{\frac{m+1}{2}} dZ. \quad (16)$$

Здесь введены обозначения:

$$P = \tilde{P}_L - 2Z\tilde{P}_{LK} + Z^2\tilde{P}_K; \quad \tilde{P}_L = \dot{\epsilon}_{10}^2 + \dot{\epsilon}_{10}\dot{\epsilon}_{20} + \dot{\epsilon}_{20}^2 + \frac{\alpha^2}{4}\dot{\epsilon}_{130}^2; \quad (17)$$

$$P_{LK} = \dot{\epsilon}_{10} \left( \kappa_1 + \frac{1}{2} \kappa_2 \right) + \dot{\epsilon}_{20} \left( \kappa_2 + \frac{1}{2} \kappa_1 \right); \quad P_K = \kappa_1^2 + \kappa_1\kappa_2 + \kappa_2^2. \quad (18)$$

Подстановка выражения (16) в формулы (12) дает возможность найти следующие определяющие уравнения установившейся ползучести оболочки:

$$T_i = \left( \varepsilon_{i0} + \frac{1}{2} \varepsilon_{j0} \right) J_1 - \left( \kappa_i + \frac{1}{2} \kappa_j \right) J_2; \quad Q = \frac{\alpha^2}{4} \varepsilon_{130} J_1; \quad (19)$$

$$M_i = \left( \varepsilon_{i0} + \frac{1}{2} \varepsilon_{j0} \right) J_2 - \left( \kappa_i + \frac{1}{2} \kappa_j \right) J_0 \quad (i, j = 1, 2; i \neq j),$$

где

$$J_\nu = \left( \frac{2}{V^3} \right)^{m+1} B_1^{-m} \int_{-h}^h P^{\frac{m-1}{2}} Z^{\nu-1} dZ, \quad \nu = 1, 2, 3. \quad (20)$$

Отметим, что такие уравнения можно получить с помощью формул (9), (10), (11) и последующего интегрирования по толщине оболочки.

В качестве примера рассмотрим находящуюся под осесимметричной нагрузкой пологую кольцевую оболочку вращения переменной толщины  $2h = 2h_0\varphi(r)$  ( $\varphi(0) = 1$ ). Введем следующие безразмерные величины:

$$x = \frac{r}{R_2}, \quad z = \frac{Z}{h}, \quad \lambda = \frac{\psi}{h_0}, \quad \omega = \frac{\dot{W}}{h_0}, \quad u = \frac{\dot{U}}{R_2}, \quad \gamma_1 = \frac{R_2}{h_0} \dot{\gamma},$$

$$\beta = \frac{h_0}{R_2}, \quad b = \frac{R_1}{R_2}, \quad k_i = h_0 \kappa_i, \quad q_x = \left( \frac{2}{V^3} \right)^{-(m+2)} Q B_1^m / (\alpha h_0 \varphi(x)),$$

$$t_i = \left( \frac{2}{V^3} \right)^{-(m+1)} T_i B_1^m / (2h_0 \varphi(x)); \quad (21)$$

$$m_i = \left( \frac{2}{V^3} \right)^{-(m+1)} M_i B_1^m / (h_0^2 \varphi^2(x)), \quad p = \left( \frac{2}{V^3} \right)^{-(m+1)} q_* R_2^2 B_1^m / (6h_0^2),$$

$$q_* = 2\alpha x q_x / (V^3 \beta), \quad t_* = \left( \frac{2}{V^3} \right)^{-(m+1)} R_2 T_* B_1^m / (2h_0),$$

где  $r$  — радиальная координата;  $R_1, R_2$  — радиусы внутреннего и наружного контуров оболочки;  $\psi(r)$  — уравнение срединной поверхности оболочки;  $\dot{U}, \dot{W}, \dot{\gamma}$  — скорости перемещений точек срединной поверхности в продольном и поперечном направлениях и скорость изменения угла поворота волокна, первоначально перпендикулярного срединной поверхности;  $q, T_*$  — интенсивности равномерно распределенной поперечной и продольной нагрузки.

Полная система уравнений задачи в обозначениях (21) запишется так:

$$\frac{d}{dx} [x\varphi(x) t_1] - \varphi(x) t_2 = -x t_*, \quad \frac{d}{dx} [\varphi'(x) q_*] = 6px, \quad (22)$$

$$\frac{d}{dx} [x\varphi(x) m_1] - \varphi(x) m_2 + 2x \frac{d\lambda}{dx} t_1 + q_* = 0,$$

$$\varepsilon_{10} = \frac{du}{dx} - \beta^2 \frac{d^2\lambda}{dx^2} \omega, \quad \varepsilon_{20} = \frac{\dot{u}}{x} - \beta^2 \frac{d\lambda}{dx} \frac{\dot{\omega}}{x}, \quad (23)$$

$$\dot{k}_1 = \beta^2 \frac{d\dot{\gamma}_1}{dx}, \quad \dot{k}_2 = \beta^2 \frac{\dot{\gamma}_1}{x}, \quad \varepsilon_{130} = \beta \left( \dot{\gamma}_1 - \frac{d\dot{\omega}}{dx} \right),$$

$$t_i = \frac{1}{2} \left[ \left( \varepsilon_{i0} + \frac{1}{2} \varepsilon_{j0} \right) J_1(x) - \left( k_i + \frac{1}{2} k_j \right) \varphi(x) J_2(x) \right],$$

$$m_i = \left( \varepsilon_{i0} + \frac{1}{2} \varepsilon_{j0} \right) J_2(x) - \left( k_i + \frac{1}{2} k_j \right) \varphi(x) J_3(x) \quad (i, j = 1, 2; i \neq j), \quad (24)$$

$$q_* = \frac{\alpha^2}{4\beta} x \varepsilon_{130} J_1(x),$$

где

$$J_\nu(x) = \int_{-1}^1 P^{\frac{m-1}{2}} z^\nu dz \quad (\nu = 1, 2, 3); \quad (25)$$

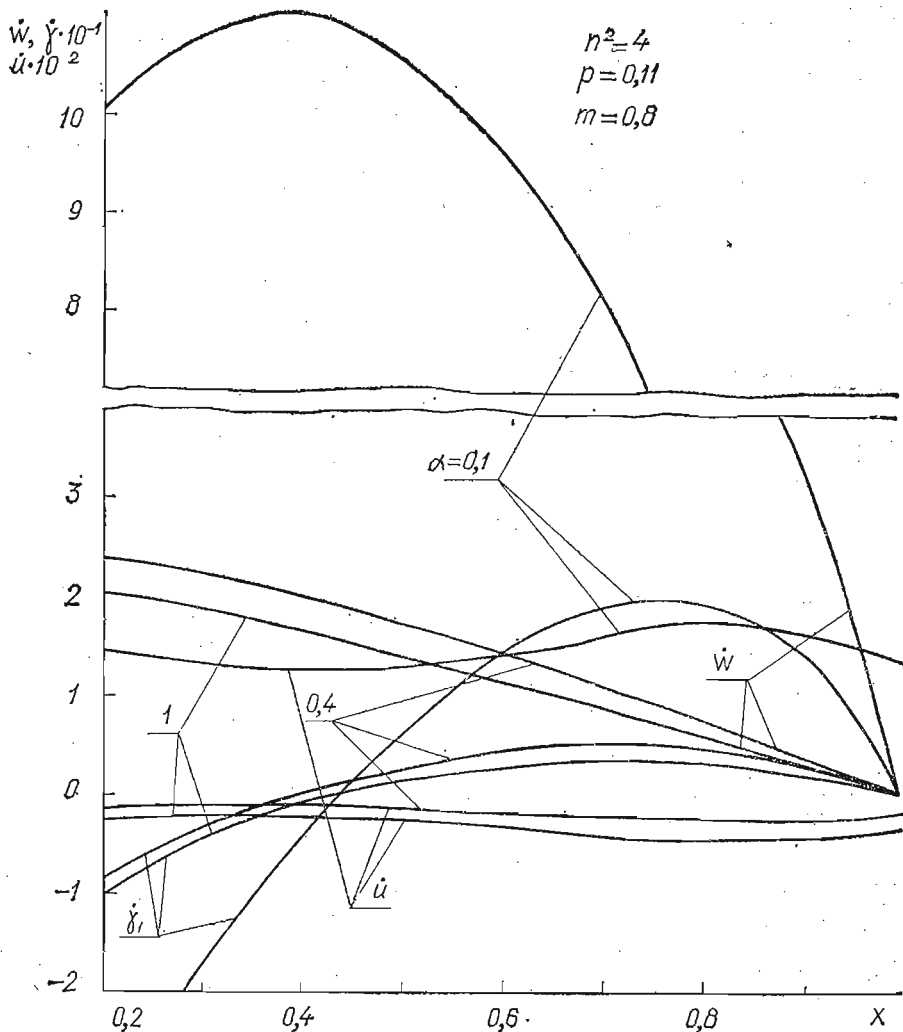


Рис. 1

$$P = P_L - 2z\varphi(x) P_{LK} + z^2\varphi^2(x) P_K; \quad P_L = \tilde{P}_L;$$

$$\tilde{P}_K = \dot{k}_1^2 + k_1\dot{k}_2 + \dot{k}_2^2; \quad \tilde{P}_{LK} = \varepsilon_{10} \left( \dot{k}_1 + \frac{1}{2} \dot{k}_2 \right) + \varepsilon_{20} \left( \dot{k}_2 + \frac{1}{2} \dot{k}_1 \right).$$

Граничные условия задачи запишем в виде  
при  $x = b$

$$m_1 = m_b = M_b / \left[ \left( \frac{2}{\sqrt{3}} \right)^m B_1^{-m} h_0^2 \varphi^2(b) \right], \quad (26)$$

$$t_1 = t_b = T_b / \left[ \left( \frac{2}{\sqrt{3}} \right)^{m+1} B_1^{-m} 2h_0 \varphi(b) \right], \quad q_* = 2b\rho_b / (\beta\varphi(b));$$

при  $x = 1$

$$m_1 = m_2 = M_r / \left[ \left( \frac{2}{\sqrt{3}} \right)^{m+1} B_1^{-m} h_0^2 \varphi^2(1) \right]; \quad \omega = 0, \quad \dot{u} = 0. \quad (27)$$

Здесь  $M_b$ ,  $M_r$  — интенсивности равномерно распределенных моментов по внутреннему и наружному контурам;  $\rho_b = P_b / \left[ \left( \frac{2}{\sqrt{3}} \right)^{m+1} B_1^{-m} 2h_0 \right]$ ;  $P_b$ ,  $T_b$  — интенсивности равномерно распределенных по внутреннему контуру поперечной и продольной нагрузок.

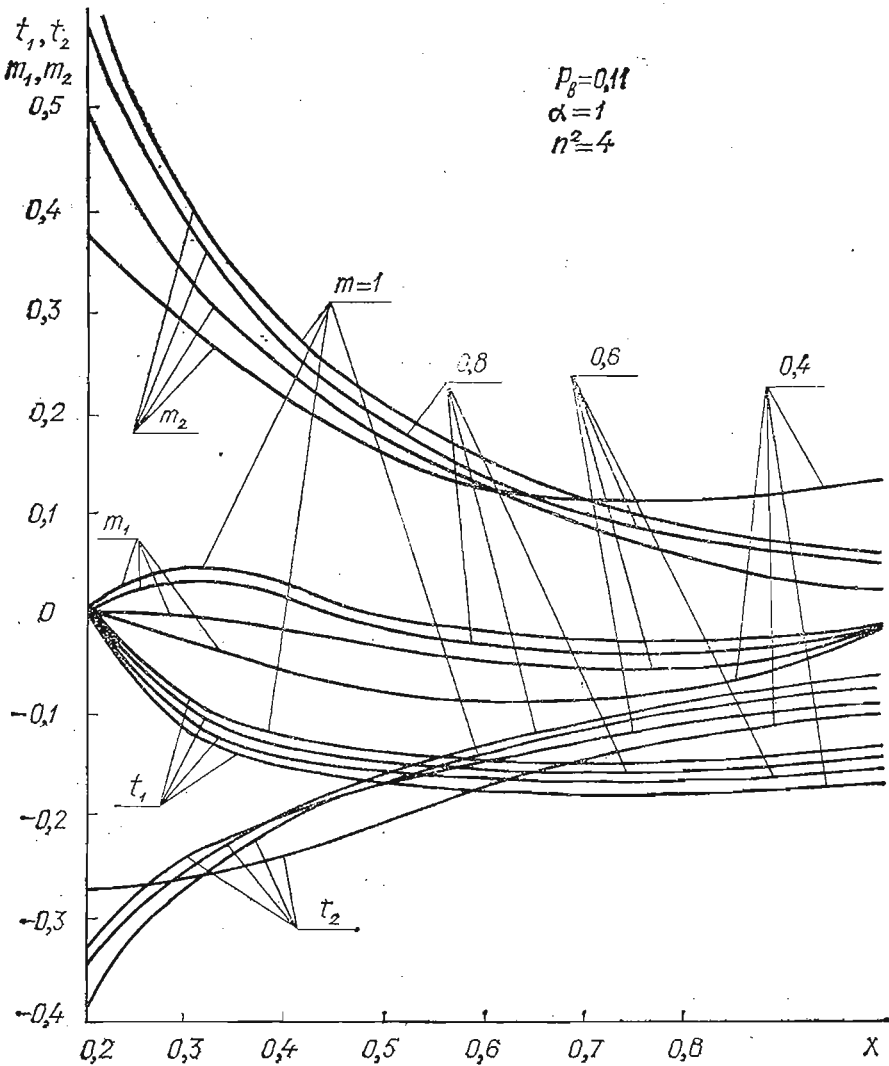


Рис. 2

В связи с тем, что в граничные условия задачи не входят  $t_2$  и  $m_2$ , разрешающую систему уравнений после некоторых преобразований запишем так:

$$\frac{dt_1}{dx} = - \left( \frac{\varphi'}{\varphi} + \frac{1}{2x} \right) t_1 - \frac{3\beta^2 \lambda' J_1}{8x^2} \omega + \frac{3J_1}{8x^2} u - \frac{3\beta^2 \varphi(x) J_2}{8x^2} \dot{\gamma}_1 - \frac{t_*}{\varphi(x)},$$

$$\begin{aligned} \frac{dm_1}{dx} = & - \frac{2\lambda' t_1}{\varphi(x)} - \left( \frac{\varphi'}{\varphi} + \frac{1}{2x} \right) m_1 - \frac{3\beta^2 \lambda' J_2}{4x^2} \omega + \frac{3J_2}{4x^2} u - \\ & - \frac{3\beta^2 \varphi(x)}{4x^2} J_3 \dot{\gamma}_1 - \frac{q_*}{x\varphi}, \end{aligned}$$

$$\frac{dq_*}{dx} = \frac{1}{\varphi} (6px - q_* \varphi'), \quad \frac{d\omega}{dx} = \dot{\gamma}_1 - \frac{4q_*}{\alpha^2 x J_1}, \quad (28)$$

$$\frac{du}{dx} = - \frac{2J_3 t_1}{J_1} + \frac{J_2}{J_4} m_1 + \beta^2 \left( \lambda'' + \frac{\lambda'}{2x} \right) \omega - \frac{u}{2x},$$

$$\frac{d\dot{\gamma}_1}{dx} = - \frac{2J_2 t_1}{\beta^2 \varphi(x) J_4(x)} + \frac{J_1 m_1}{\beta^2 \varphi(x) J_4} - \frac{\dot{\gamma}_1}{2x},$$

$$t_2 = \frac{3}{8x} [(u - \beta^2 \lambda' \dot{w}) J_1 - \beta^2 \varphi(x) \dot{\gamma}_1 J_2] + \frac{t_1}{2}, \quad (29)$$

$$m_2 = \frac{3}{4x} [(u - \beta^2 \lambda' \dot{w}) J_2 - \beta^2 \varphi(x) \dot{\gamma}_1 J_3] + \frac{m_1}{2},$$

где обозначено  $J_4(x) = J_2^2(x) - J_1(x) J_3(x)$ .

Нелинейная краевая задача (26) — (28) решалась методом последовательных приближений, подобным методу упругих решений в теории упруго-

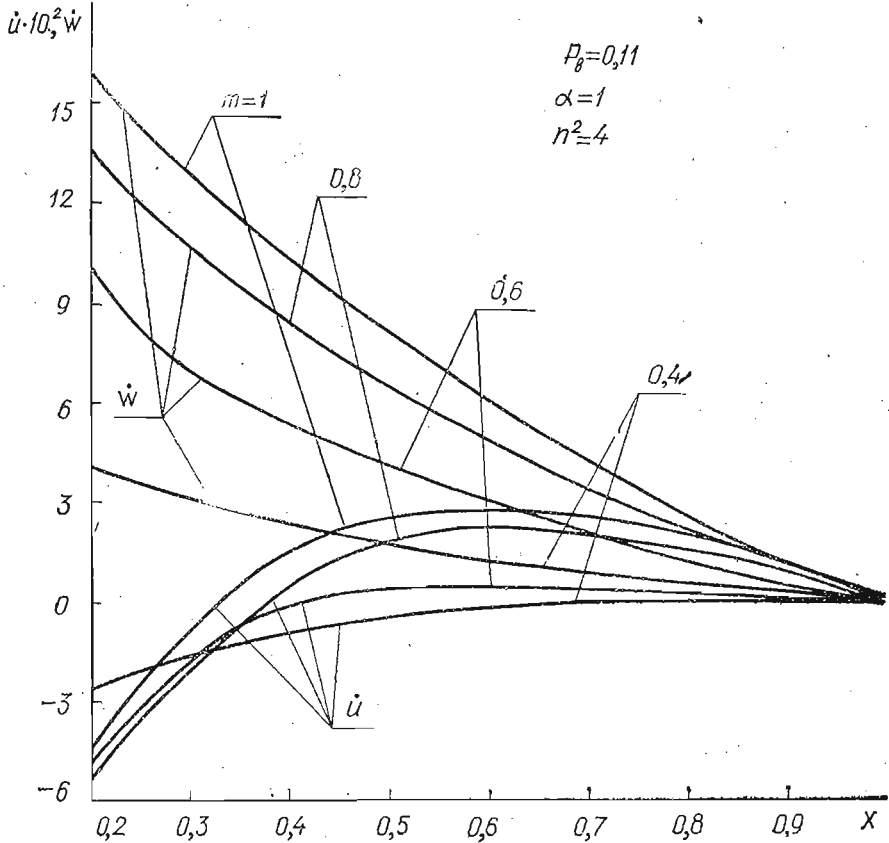


Рис. 3

пластичности. Начальное приближение строилось для  $m = 1$ . Численный анализ показал, что простые методы сведения линейной краевой задачи на каждом шаге к задачам Коши непригодны, так как получаются несовместные системы линейных алгебраических уравнений для определения коэффициентов связи. Поэтому в каждом приближении численное решение находилось методом инвариантного погружения [9], причем его применение в сочетании с методом последовательных приближений дало достаточно хорошую сходимость.

Расчеты проводились для полой сферической оболочки ( $\lambda = n^2 x^2 / 4$ ,  $n^2 = 2R_0^2 / Rh_0$ ;  $R$  — радиус кривизны) постоянной толщины при  $\beta = 0,1$  и  $b = 0,2$ . На рис. 1 показан характер изменения скоростей перемещений вдоль радиальной координаты для различных значений  $\alpha$ . Из графиков видно, что понижение сопротивляемости материала на поперечный сдвиг сильно влияет на скорости перемещений. Так, при уменьшении коэффициента  $\alpha$  от 1,0 до 0,4 скорость прогиба оболочки при  $x = b$  увеличивается на 17%.

Изменение интенсивностей внутренних усилий, моментов и скоростей перемещений вдоль радиальной координаты для различных значений показателя ползучести показано на рис. 2, 3. Увеличение показателя ползучес-

При  $n$  (уменьшение  $m$ ) приводит к значительному перераспределению усилий и моментов и уменьшению скоростей перемещений.

На рис. 4, а, б, в приведено распределение напряжений  $\sigma_1$ ,  $\sigma_2$ ,  $\sigma_{13}$  соответственно по толщине оболочки для различных значений параметра анизотропии материала на поперечный сдвиг ( $\alpha$ ) при  $x = 0,6$ ;  $p = 0,11$ ;  $n^2 = 4$ . Сплошными линиями показан характер изменения напряжений при  $m = 0,4$ ; штриховыми — при  $m = 1$ .

Нами решалась также аналогичная задача для случая, когда определяющие уравнения установившейся ползучести оболочки были найдены на основании рассуждений, аналогичных проведенным в работе [8] (см. также [11]). Сравнение результатов показало, что в некоторых случаях

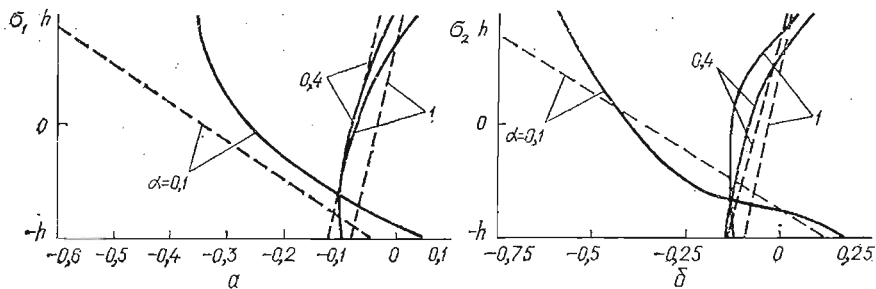
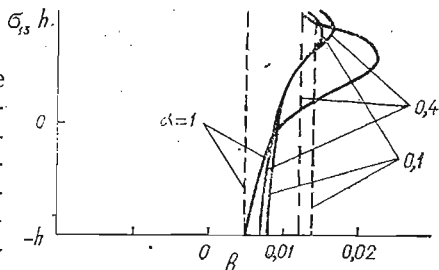


Рис. 4

нагружения приближенное решение намного отличается от точного, причем скорости перемещений в большинстве случаев оказываются ниже. Например, расхождение между скоростями перемещений на внутреннем контуре оболочки при  $\alpha = 1$ ,  $m = 0,4$  оказалось таким: 1) при действии внешней нагрузки  $m_2 = \pm 0,5$  и  $n^2 = 6$  для  $\omega$  — 30,8%; для  $u$  — 2,1%, для  $\gamma_1$  —

54,3%; 2) при действии внешней нагрузки  $t_b = \pm 0,1$  и  $n^2 = 4$  для  $\omega$  — 20,1%, для  $u$  — 5,6%, для  $\gamma_1$  — 36,6%; 3) при действии внешней нагрузки  $p = 0,2$  и  $n^2 = 4$  для  $\omega$  — 18,9%, для  $u$  — 29,1%, для  $\gamma_1$  — 17,5%. Эти результаты показывают, что не всегда можно пользоваться приближенными уравнениями установившейся ползучести и для случаев, когда величина  $\bar{P}_{LK}$  в формулах (25) одного порядка с величинами  $\bar{P}_L$  и  $\bar{P}_K$ , а показатель ползучести  $n > 2$ , необходимо проводить более тщательный анализ с использованием определяющих уравнений (24).



1. Бурлаков А. В. Основные уравнения технической теории ползучести тонких оболочек. — Динамика и прочность машин, 1971, вып. 13, с. 3—9.
2. Бурлаков А. В. К вопросу об основных уравнениях моментной теории ползучести плоских оболочек. — Динамика и прочность машин, 1965, вып. 1, с. 79—85.
3. Иванов Г. В. О соотношениях между скоростями деформаций и усилиями, моментами при установившейся ползучести пластин и оболочек. — Механика твердого тела, 1968, № 2, с. 159—165.
4. Качанов Л. М. Теория ползучести. — М.: Физматгиз, 1960. — 450 с.
5. Малинин Н. Н. Исследование установившейся ползучести круглых и кольцевых осесимметрично нагруженных пластин. — Расчеты на прочность, 1963, вып. 9, с. 173—195.
6. Малинин Н. Н. Установившаяся ползучесть круглых симметрично нагруженных пластин. — Расчеты на прочность, жесткость и ползучесть элементов машиностроительных конструкций, 1953, вып. 26, с. 221—238.
7. Работнов Ю. Н. Ползучесть элементов конструкций. — М.: Наука, 1966. — 750 с.
8. Розенблюм В. И. Приближенные уравнения ползучести тонкостенных оболочек. — Прикл. математика и механика, 1963, вып. 1, с. 154—159.
9. Современные численные методы решения обыкновенных дифференциальных уравнений / Под ред. Дж. Холл и Дж. Уатт. — М.: Мир, 1979. — 312 с.



10. Шаблий О. Н. Об установившейся ползучести осесимметрично нагруженных круглых и кольцевых пластинок и пологих сферических оболочек.— Динамика и прочность машин, 1965, вып. 1, с. 99—106.
11. Шаблий О. Н., Данчак П. И. Установившаяся ползучесть оболочек вращения и круглых пластин с учетом напряжений сдвига.— Изв. вузов. Машиностроение, 1977, № 1, с. 18—23.
12. Rabinov Yu. N. Viscoelasticity and creep in shell Structures.— Non-classical shell problems.— Amsterdam: North-Holland Publishing Company, 1964, p. 355—367.

Тернопольский филиал Львовского  
политехнического института

Поступила в редколлегию  
09.01.81.

УДК 539.3

М. В. Белубекян, К. Б. Казарян

### О ПОТЕРЕ УСТОЙЧИВОСТИ ТОКОНЕСУЩЕЙ ПЛАСТИНКИ-ПОЛОСЫ

В последнее время токонесущие тонкие тела типа пластин и оболочек стали привлекать внимание многих исследователей в силу их широкого использования в различных областях современной техники [5, 8]. При прохождении электрического тока в твердом теле возникают механические напряжения, обусловленные взаимодействием тока с собственным магнитным полем, а также джоулевым нагревом. В работе [8] приведен подробный анализ существующих по настоящее время работ по устойчивости токонесущих стержней (проволок). В работе [4] показано, что взаимодействие электрического тока, протекающего по направлению образующих цилиндрической оболочки, с собственным полем приводит к потере упругой устойчивости оболочки. Вопросу потери термоупругой устойчивости токонесущей пластинки под действием температурных напряжений, обусловленных джоулевым теплом, была посвящена работа [3]. В работе [7] проведен эксперимент по определению критической комбинации силы тока и напряженности внешнего магнитного поля, при которой тонкая проводящая пластинка теряет устойчивость. В данной работе исследуется вопрос статической потери устойчивости упругой тонкой токонесущей пластинки-полосы. Явление потери устойчивости такой пластинки при относительно большом токе (сила тока  $I_0 \sim 4000$  А) наблюдалось в лабораторных условиях [8].

Пусть по бесконечной проводящей пластинке-полосе толщины  $2h$  и ширины  $2a$  течет равномерно распределенный по поперечному сечению постоянный электрический ток плотностью  $j_0$ . Прямоугольная декартова система координат выбрана так, что плоскость  $(x, y)$  совпадает со срединной плоскостью пластинки, а направление оси  $Ox$  совпадает с направлением электрического тока. В выбранной системе координат пластинка занимает область  $|x| < \infty$ ,  $|y| \leq a$ ,  $|z| \leq h$ . Принимается, что поверхности пластинки  $z = \pm h$ ,  $y = \pm a$  свободны от механических нагрузок. Джоулево тепло и индуцированные электромагнитные поля в пластинке не учитываются.

Собственное магнитное поле пластинки  $\vec{H}_0$  определяется из решения краевой задачи магнитостатики и в области, занимаемой пластинкой, компоненты вектора напряженности магнитного поля имеют вид

$$\begin{aligned}
 H_{0x} = 0, \quad H_{0y} = \frac{2j_0}{c} \left[ (h-z) \left( \operatorname{arctg} \frac{a+y}{h-z} + \operatorname{arctg} \frac{a-y}{h-z} \right) - \right. \\
 \left. - (h+z) \left( \operatorname{arctg} \frac{a+y}{h+z} + \operatorname{arctg} \frac{a-y}{h+z} \right) - \frac{a-y}{2} \ln \frac{(a-y)^2 + (h+z)^2}{(a-y)^2 + (h-z)^2} - \right. \\
 \left. - \frac{a+y}{2} \ln \frac{(a+y)^2 + (h+z)^2}{(a+y)^2 + (h-z)^2} \right], \quad H_{0z} = \frac{2j_0}{c} \left[ (a+y) \left( \operatorname{arctg} \frac{h+z}{a+y} + \right. \right. \quad (1)
 \end{aligned}$$